
Bazele electrotehnicii

Tema 2

Constantin Mihai

311 CD

Facultatea de Automatică și Calculatoare

`mihai.constantin98@gmail.com`

13 iunie 2018

Cuprins

1	Rezolvarea circuitelor de c.a.	4
1.1	Subpunctul a)	4
1.2	Subpunctul b)	10
1.3	Subpunctul c)	10
2	Rezolvarea circuitelor în regim tranzitoriu	11
2.1	Subpunctul a)	11
2.2	Subpunctul b)	17
2.3	Subpunctul c)	17
3	Calculul și reprezentarea unui câmp electric	18
3.1	Subpunctul a)	18
3.2	Subpunctul b)	19
3.3	Subpunctul c)	20
4	Redactarea în \LaTeX	21
	Bibliografie	22

Enunț

1. Rezolvarea circuitelor de c.a.

În problema de circuit (fără surse comandate) pe care ați inventat-o la tema 1

a)

- Adăugați în serie cu un rezistor $R_1 > 0$ o bobină cu inductivitatea $L = x \cdot 100/\pi$ mH, unde x este egală numeric cu R_1 .
- Adăugați în paralel cu un rezistor $R_2 > 0$ un condensator cu capacitatea $C = y \cdot 100/\pi$ μ F, unde y este egală numeric cu R_2 .
- Considerați $f = 50$ Hz.
- Schimbați toate sursele independente în surse sinusoidale, cu frecvență f și expresia $x(t) = X\sqrt{2}\sin(\omega t + \varphi)$, unde X este valoarea pe care o avusese sursa în c.c., iar pentru φ alegeți valori diferite din mulțimea $\{0, \pm\pi/2, \pm\pi/4\}$.
- Desenați reprezentarea în complex a circuitului.
- Aplicați aceeași metodă de rezolvare pe care ați folosit-o la tema 1 și scrieți sistemul de ecuații de rezolvat în complex.
- Scrieți un mic program Matlab/Octave pentru rezolvarea acestei probleme.

b) Completați codul cu instrucțiuni pentru verificarea bilanțului de puteri în complex.

c) Ilustrați trecerea în timp a mărimilor complexe pentru una din mărimile obținute.

2. Rezolvarea circuitelor în regim tranzitoriu

În problema de circuit (fără surse comandate) pe care ați inventat-o la tema 1

a)

- Adăugați în serie cu un rezistor $R_1 > 0$ o bobină cu inductivitatea $L = x \cdot 100/\pi$ mH, unde x este egală numeric cu R_1 (puteți păstra aceeași bobină ca la punctul 1).
- Adăugați în paralel cu un rezistor $R_2 > 0$ un condensator cu capacitatea $C = y \cdot 100/\pi$ μ F, unde y este egală numeric cu R_2 (puteți păstra același condensator ca la punctul 1).
- Presupuneți că la momentul $t = 0$ apare un "defect" și se rupe o latură din circuit, alta decât cea pe care ați înseriat bobina sau cea cu care ați conectat în paralel condensatorul.

- Desenați schema în operațional a circuitului.
 - Scrieți sistemul de rezolvat și rezolvați-l simbolic într-un mediu potrivit (Matlab, Octave).
- b) Analizați starea finală și verificați teoremele valorilor inițiale și finale.
- c) Calculați expresia instantanee a uneia dintre cele două variabile de stare și reprezentați-o grafic.

3. Calculul și reprezentarea unui câmp electric

- Alegeți o distribuție de sarcină care să depindă numai de rază într-un sistem de coordonate sferic.

$$\rho(r, \theta, \phi) = \begin{cases} f(r), & r \in [0, a] \\ 0, & r > a \end{cases}$$

Alegeți expresia $f(r)$ cum doriți în afară de o funcție constantă.

- a) Calculați vectorul inducției electrice \overline{D} , folosind legea fluxului magnetic.
- b) Reprezentați spectrul lui \overline{D} .
- c) Reprezentați echivalori ale $|\overline{D}|$.

1 Rezolvarea circuitelor de c.a.

1.1 Subpunctul a)

Am folosit circuitul inventat la tema 1, la care am adăugat o bobină în serie cu rezistorul R_1 și un condensator în paralel cu rezistorul R_4 . Circuitul nou format este reprezentat în Fig. 1.

Valorile elementelor de circuit sunt:

$$\begin{cases} R_1 = 6\Omega \\ R_2 = 2\Omega \\ R_3 = 1\Omega \\ R_4 = 1\Omega \end{cases} \quad \begin{cases} J_1 = -6 \text{ A} \\ J_2 = 2 \text{ A} \\ J_3 = 3 \text{ A} \end{cases} \quad \begin{cases} E_1 = -2 \text{ V} \\ E_2 = 4 \text{ V} \end{cases}$$

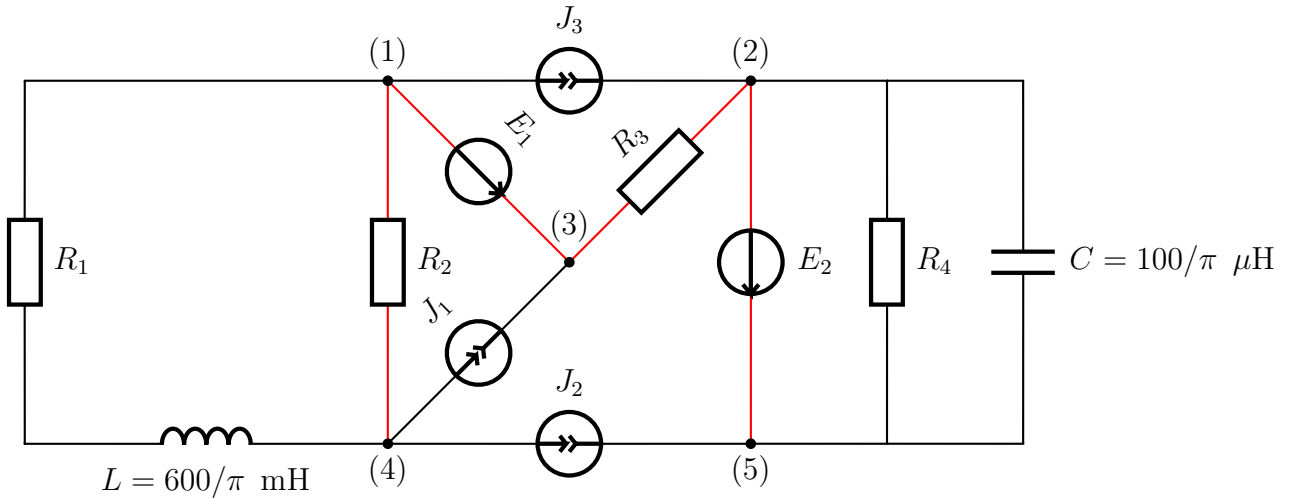


Figura 1: Graful circuitului.

Am calculat valoarea inductivității L și a capacității C :

$$\begin{cases} L = \frac{R_1 * 100}{\pi} \text{ mH} = \frac{600}{\pi} \text{ mH} \\ C = \frac{R_4 * 100}{\pi} \text{ uF} = \frac{100}{\pi} \text{ uF} \end{cases}$$

Deoarece valoarea frecvenței f este egală cu 50 Hz $\Rightarrow \omega = 2\pi f = 100\pi$

Am trecut mărimile în regim sinusoidal și am obținut următoarele rezultate:

$$\begin{cases} j_1(t) = -6\sqrt{2}\sin(100\pi t - \frac{\pi}{2}) = -6e^{-\frac{j\pi}{2}} = -6[\cos(-\frac{\pi}{2}) + j\sin(-\frac{\pi}{2})] = 6j \\ j_2(t) = 2\sqrt{2}\sin(100\pi t + \frac{\pi}{4}) = 2e^{\frac{j\pi}{4}} = 2[\cos(\frac{\pi}{4}) + j\sin(\frac{\pi}{4})] = \sqrt{2}(1 + j) \\ j_3(t) = 3\sqrt{2}\sin(100\pi t - \frac{\pi}{4}) = 3e^{-\frac{j\pi}{4}} = 3[\cos(-\frac{\pi}{4}) + j\sin(-\frac{\pi}{4})] = \frac{3\sqrt{2}}{2}(1 - j) \end{cases}$$

$$\begin{cases} e_1(t) = -2\sqrt{2}\sin(100\pi t + 0) = -2e^{j*0} = -2 \\ e_2(t) = 4\sqrt{2}\sin(100\pi t + \frac{\pi}{2}) = 4e^{\frac{j\pi}{2}} = 4[\cos(\frac{\pi}{2}) + j\sin(\frac{\pi}{2})] = 4j \end{cases}$$

$$\begin{cases} \underline{z_{R_1}} = R_1 = 6\Omega \\ \underline{z_{R_2}} = R_2 = 2\Omega \\ \underline{z_{R_3}} = R_3 = 1\Omega \\ \underline{z_{R_4}} = R_4 = 1\Omega \end{cases}$$

$$\begin{cases} \underline{z_L} = j\omega L = 60j \\ \underline{z_C} = -\frac{j}{\omega C} = -100j \end{cases}$$

Reprezentarea în complex a circuitului este realizată în Fig. 2.

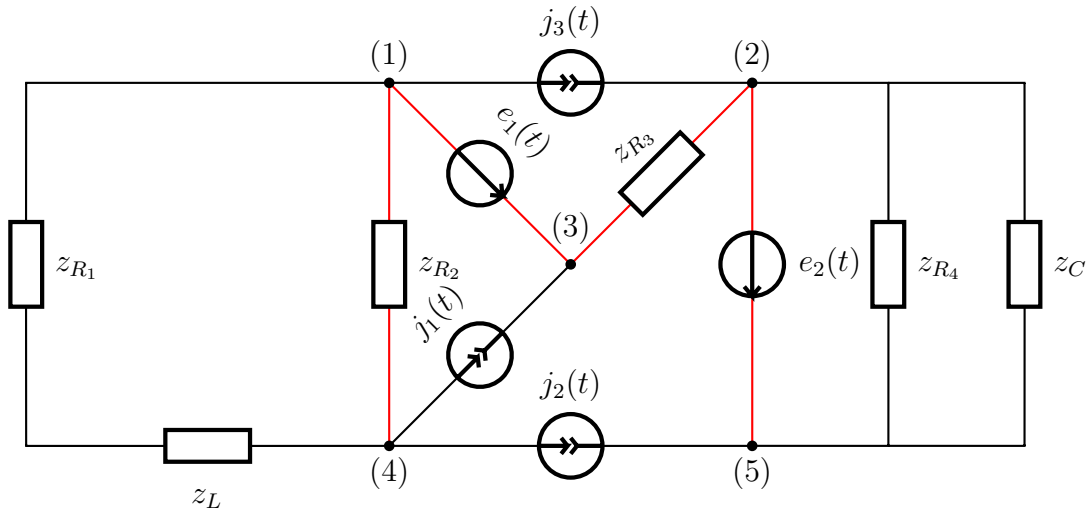


Figura 2: Circuitul în complex.

$$z_s = z_{R_1} + z_L = 6 + 60j$$

$$z_{p1} = \frac{z_s * z_{R_2}}{z_s + z_{R_2}} = \frac{(6+60j)*2}{8+60j} = \frac{456+15j}{229}$$

$$z_{p2} = \frac{z_{R_4} * z_C}{z_{R_4} + z_C} = \frac{-100j}{1-100j} = \frac{10^4 - 100j}{10^4 + 1}$$

Circuitul devine:

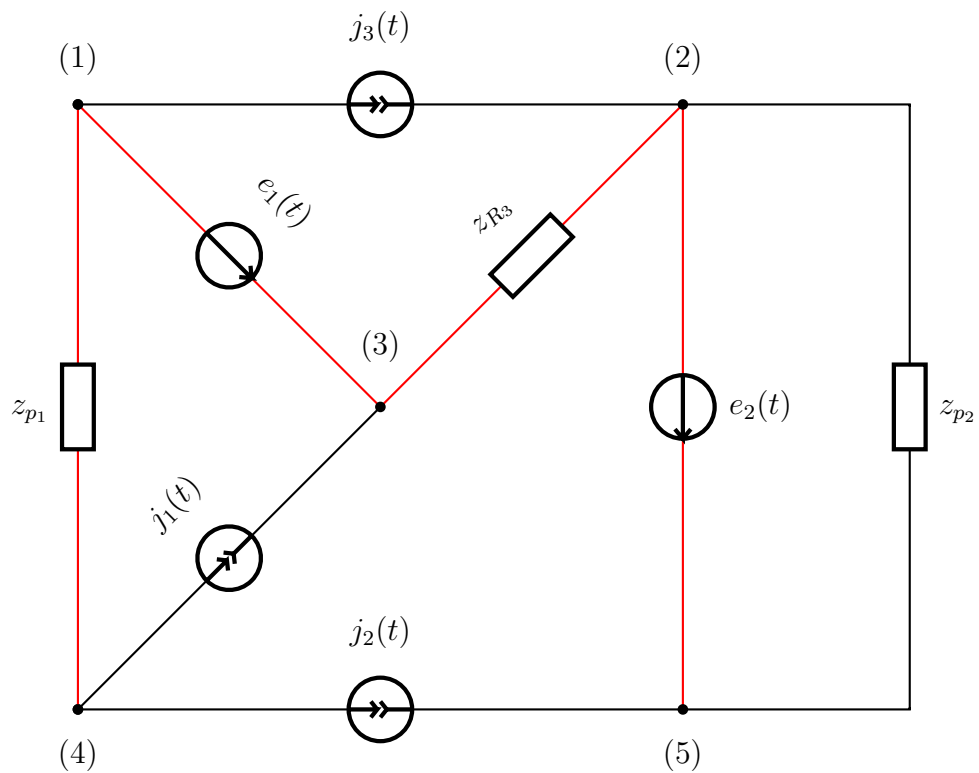


Figura 3: Circuitul în complex.

Am aplicat metoda **Kirchhoff+**. Topologia circuitului este:

$$\begin{cases} N = 5 & \text{noduri} \\ L = 8 & \text{laturi} \end{cases}$$

Graful intensităților este reprezentat în Fig. 4.

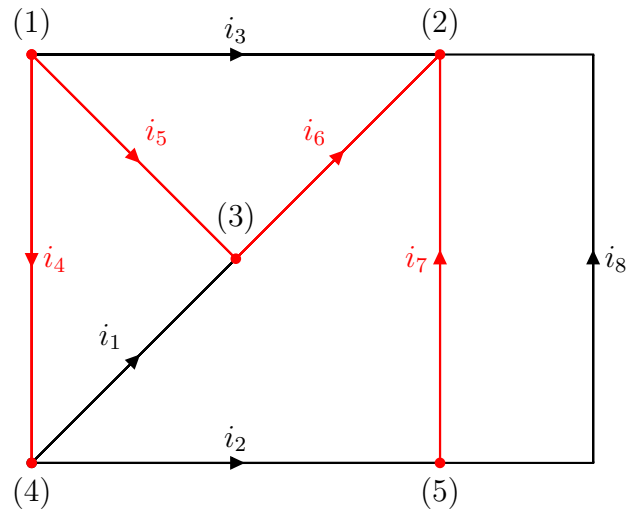


Figura 4: Graful de intensități.

Graful tensiunilor este reprezentat în Fig. 5.

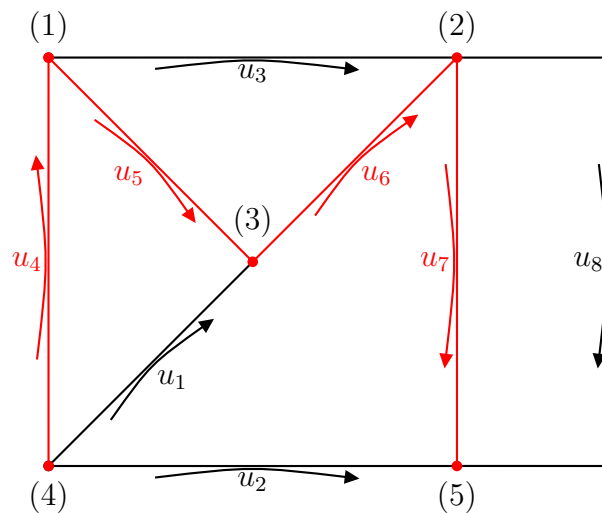


Figura 5: Graful de tensiuni.

Aplicând legea II a lui Kirchhoff pe fiecare buclă din sistemul fundamental, au rezultat $L - N + 1 = 4$ ecuații din care am aflat tensiunile de pe coarde:

$$\begin{cases} i_4 z_{p_1} + u_1 & = -e_1(t) \\ i_6 z_{R_3} - u_3 & = e_1(t) \\ -i_6 z_{R_3} + i_4 z_{p_1} + u_2 & = -e_1(t) - e_2(t) \\ i_8 z_{p_2} & = e_2(t) \end{cases}$$

Folosind notația standard pentru un sistem de ecuații algebrice liniare $\mathbf{Ax}=\mathbf{b}$, am obținut următoarea egalitate:

$$\begin{pmatrix} z_{p_2} & 0 & 0 & 0 \\ 0 & 1 & 0 & 0 \\ 0 & 0 & 1 & 0 \\ 0 & 0 & 0 & 1 \end{pmatrix} \begin{pmatrix} i_8 \\ u_1 \\ u_2 \\ u_3 \end{pmatrix} = \begin{pmatrix} e_2(t) \\ -i_4 z_{p_1} - e_1(t) \\ i_6 z_{R_3} - i_4 z_{p_1} - e_1(t) - e_2(t) \\ i_6 z_{R_3} - e_1(t) \end{pmatrix},$$

unde matricea coeficienților A are dimensiunea (4×4) , iar vectorul necunoscutelor și cel al termenilor liberi au dimensiunea (4×1) .

Soluția sistemului este:

$$\begin{cases} i_8 & = -0.04 + 4j \\ u_1 & = -0.33043 - 14.85631j \\ u_2 & = -3.86596 - 18.14920j \\ u_3 & = -1.53553 + 0.70711j \end{cases}$$

$A =$

$$\begin{pmatrix} 0.99990 - 0.01000i & 0.00000 + 0.00000i & 0.00000 + 0.00000i & 0.00000 + 0.00000i \\ 0.00000 + 0.00000i & 1.00000 + 0.00000i & 0.00000 + 0.00000i & 0.00000 + 0.00000i \\ 0.00000 + 0.00000i & 0.00000 + 0.00000i & 1.00000 + 0.00000i & 0.00000 + 0.00000i \\ 0.00000 + 0.00000i & 0.00000 + 0.00000i & 0.00000 + 0.00000i & 1.00000 + 0.00000i \end{pmatrix}$$

$b =$

$$\begin{pmatrix} 0.00000 + 4.00000i \\ -0.33043 - 14.85631i \\ -3.86596 - 18.14920i \\ -1.53553 + 0.70711i \end{pmatrix}$$

$x =$

$$\begin{pmatrix} -0.04000 + 4.00000i \\ -0.33043 - 14.85631i \\ -3.86596 - 18.14920i \\ -1.53553 + 0.70711i \end{pmatrix}$$

Valorile intensităților din circuit sunt:

$$\left\{ \begin{array}{l} \underline{i_1} = j_1(t) = 6j \\ \underline{i_2} = j_2(t) = \sqrt{2}(1 + j) \\ \underline{i_3} = j_3(t) = \frac{3\sqrt{2}}{2}(1 - j) \\ \underline{i_4} = i_1 + i_2 = \sqrt{2} + j(6 + \sqrt{2}) \\ \underline{i_5} = -i_3 - i_4 = -\frac{5\sqrt{2}}{2} + j(\frac{\sqrt{2}}{2} - 6) \\ \underline{i_6} = i_1 + i_5 = -\frac{5\sqrt{2}}{2} + j\frac{\sqrt{2}}{2} \\ \underline{i_7} = i_2 - i_8 = \sqrt{2}(1 + j) - i_8 = 1.4542 - 2.5858j \\ \underline{i_8} = -0.04 + 4j \end{array} \right.$$

Valorile tensiunilor din circuit sunt:

$$\left\{ \begin{array}{l} \underline{u_1} = -0.33043 - 14.85631j \\ \underline{u_2} = -3.86596 - 18.14920j \\ \underline{u_3} = -1.53553 + 0.70711j \\ \underline{u_4} = u_1 - u_5 = -2.3304 - 14.8563j \\ \underline{u_5} = -e_1(t) = 2 \\ \underline{u_6} = u_3 - u_5 = -3.53553 + 0.70711j \\ \underline{u_7} = -e_2(t) = -4j \\ \underline{u_8} = u_7 = -4j \end{array} \right.$$

Trec toate valorile din complex în scriere sinusoidală, cu ajutorul unei functii Octave.

```
I1 = 6.000000 * sqrt(2) * sin(100 * pi * t + 1.570796)
I2 = 2.000000 * sqrt(2) * sin(100 * pi * t + 0.785398)
I3 = 3.000000 * sqrt(2) * sin(100 * pi * t - 0.785398)
I4 = 7.547885 * sqrt(2) * sin(100 * pi * t + 1.382317)
I5 = 6.365117 * sqrt(2) * sin(100 * pi * t - 2.159706)
I6 = 3.605551 * sqrt(2) * sin(100 * pi * t + 2.944197)
I7 = 2.966653 * sqrt(2) * sin(100 * pi * t - 1.058492)
I8 = 4.000200 * sqrt(2) * sin(100 * pi * t + 1.580796)

U1 = 14.859984 * sqrt(2) * sin(100 * pi * t - 1.593034)
U2 = 18.556376 * sqrt(2) * sin(100 * pi * t - 1.780670)
U3 = 1.690520 * sqrt(2) * sin(100 * pi * t + 2.710042)
U4 = 15.037966 * sqrt(2) * sin(100 * pi * t - 1.726391)
U6 = 3.605548 * sqrt(2) * sin(100 * pi * t + 2.944196)
U7 = 4.000000 * sqrt(2) * sin(100 * pi * t - 1.570796)
U8 = 4.000000 * sqrt(2) * sin(100 * pi * t - 1.570796)
```

1.2 Subpunctul b)

În continuare, am realizat **bilanțul de puteri** pentru a verifica faptul că am calculat corect elementele de circuit.

$$\underline{S}_{gen} = \sum_{k=1}^{n_{SIT}} \underline{E}_k * \underline{I}_k' + \sum_{k=1}^{n_{SIC}} \underline{U}_{gk} * \underline{J}_k'$$

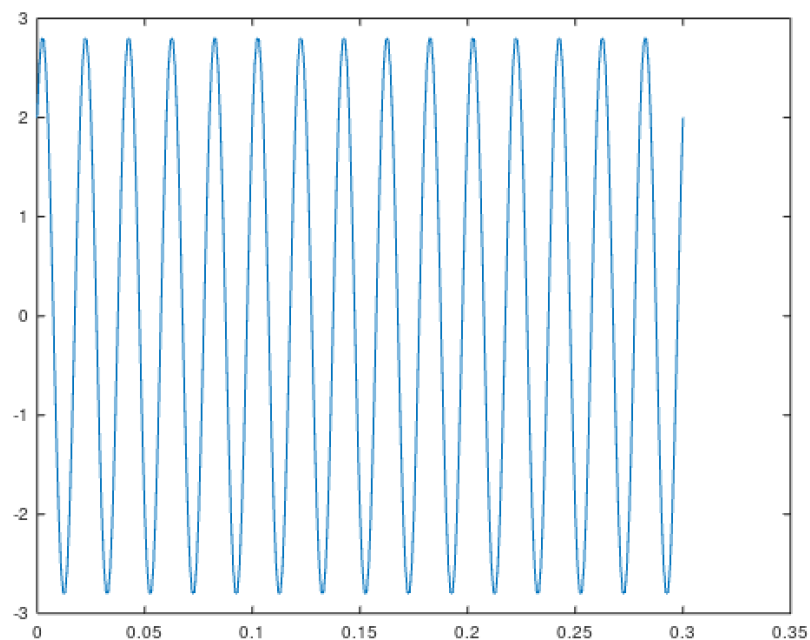
$$\underline{S}_{cons} = \sum_{k=1}^{n_z} \underline{z}_k * |\underline{I}_k|^2$$

Calculul puterilor a fost determinat cu ajutorul unei funcții Octave.

```
octave:9> [S_gen S_cons] = puteri()
S_gen = 142.4436 + 3.5717i
S_cons = 142.4436 + 3.5717i
```

1.3 Subpunctul c)

Am trasat graficul ce prezintă evoluția în timp a parametrului $j_2(t)$.



2 Rezolvarea circuitelor în regim tranzitoriu

2.1 Subpunctul a)

Am folosit circuitul inventat la tema 1, la care am adăugat o bobină în serie cu rezistorul R_1 și un condensator în paralel cu rezistorul R_4 . Circuitul nou format este reprezentat în Fig. 6.

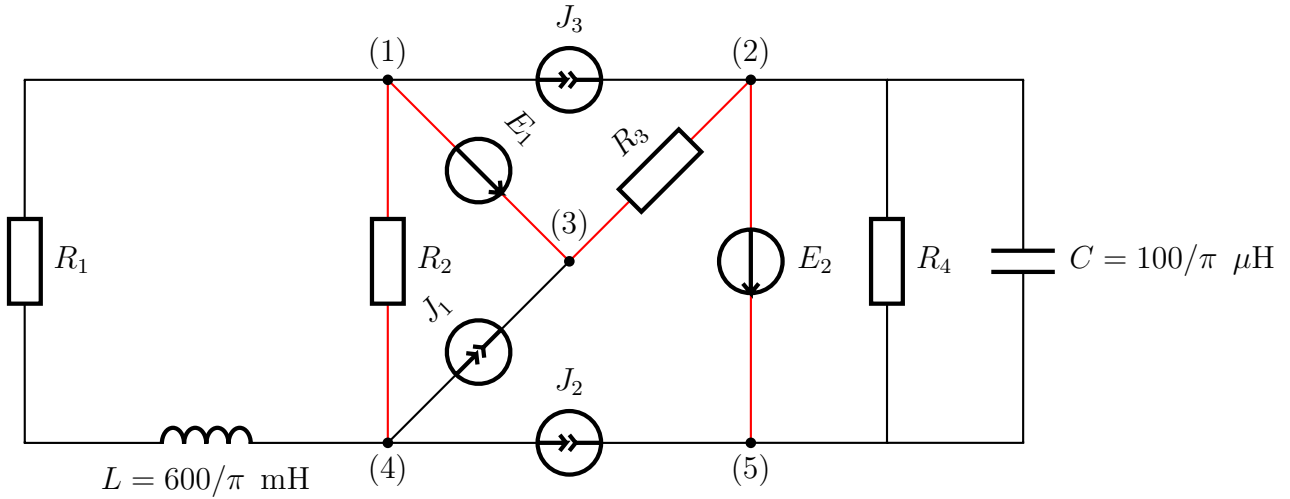


Figura 6: Graful circuitului.

Am calculat valoarea inductivității L și a capacității C :

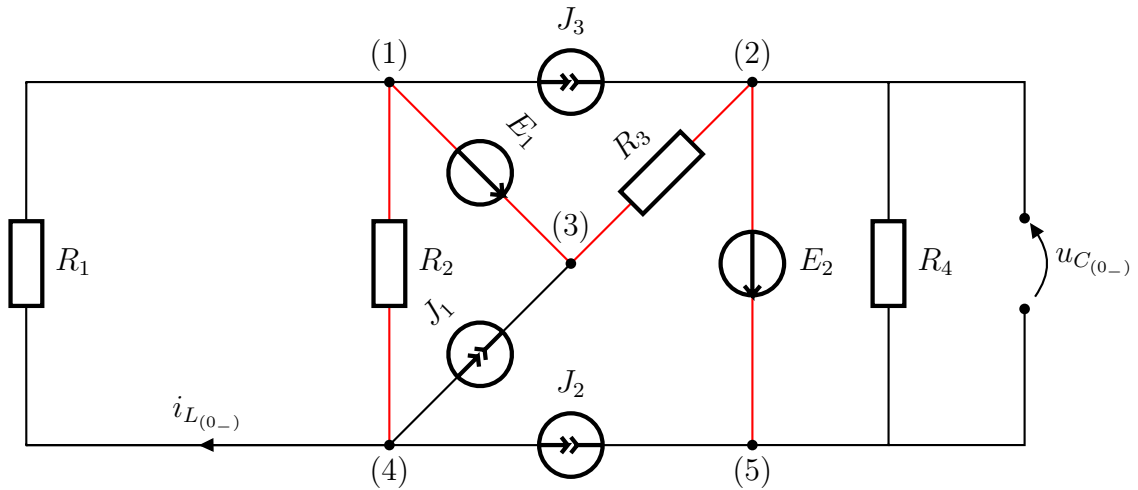
$$\begin{cases} L = \frac{R_1 * 100}{\pi} \text{ mH} = \frac{600}{\pi} \text{ mH} \\ C = \frac{R_4 * 100}{\pi} \text{ μF} = \frac{100}{\pi} \text{ μF} \end{cases}$$

Am considerat că la momentul $t = 0$ apare un defect în circuit și se rupe latura ce conține sursa ideală de tensiune E_2 .

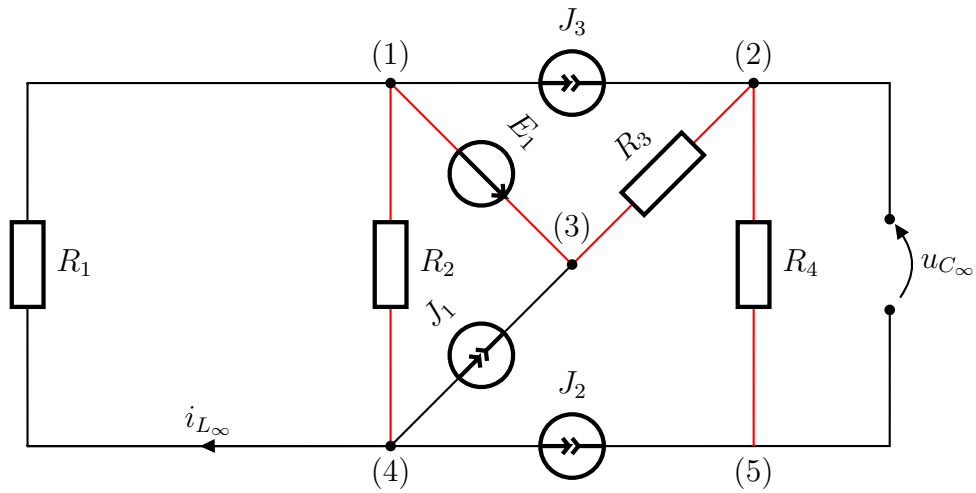
La $t = 0_-$, circuitul este în curent continuu. Bobina se comportă ca un conductor perfect ($R \rightarrow 0$), în timp ce condensatorul ca un izolator perfect ($R \rightarrow \infty$). Latura nu este încă ruptă. Circuitul la $t = 0_-$ este ilustrat în Fig. 7.

Circuitul este identic cu cel de la tema 1, de unde rezultă:

$$\begin{cases} u_{C(0_-)} = 4 \text{ V} \\ i_{L(0_-)} = 1 \text{ A} \end{cases}$$

Figura 7: Graful circuitului la $t = 0_-$

La $t \rightarrow \infty$, circuitul este în curent continuu. Precum la $t = 0_-$, bobina se comportă ca un conductor perfect ($R \rightarrow 0$), iar condensatorul ca un izolator perfect ($R \rightarrow \infty$). Latura ce conține sursa E_2 este ruptă. Graful circuitului la $t \rightarrow \infty$ este reprezentat în Fig. 8.

Figura 8: Graful circuitului la $t \rightarrow \infty$

Pentru a calcula valorile intensităților și tensiunilor la $t \rightarrow \infty$ am folosit simulatorul Spice.

```
% t -> inf
```

```
R1 4 1 6
R2 1 4 2
R3 2 3 1
R4 0 2 1
V1 1 3 2
I1 4 3 -6
I2 4 0 2
I3 1 2 3
```

```
.op
```

```
--- Operating Point ---
V(4):      1      voltage
V(1):     -5      voltage
V(2):     -2      voltage
V(3):     -7      voltage
I(I3):      3      device_current
I(I2):      2      device_current
I(I1):     -6      device_current
I(R4):      2      device_current
I(R3):      5      device_current
I(R2):     -3      device_current
I(R1):      1      device_current
I(V1):      1      device_current
```

Graful de intensități și de tensiuni sunt reprezentate în Fig. 9, respectiv în Fig. 10.

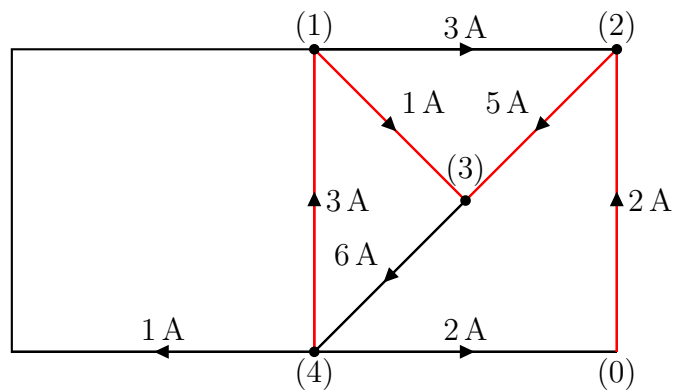


Figura 9: Graful intensităților la $t \rightarrow \infty$

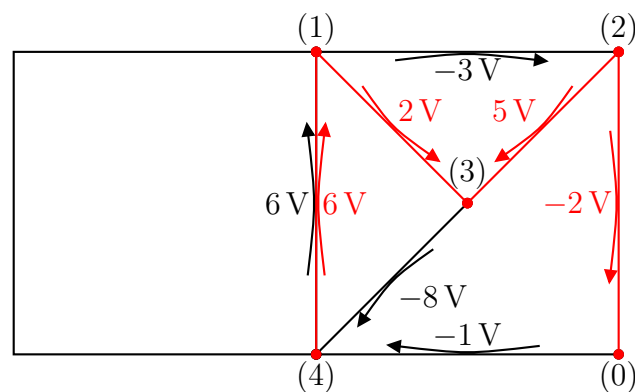


Figura 10: Graful tensiunilor la $t \rightarrow \infty$

Rezultă următoarele valori pentru parametri căutați:

$$\begin{cases} u_{C\infty} = 2 \text{ V} \\ i_{L\infty} = 1 \text{ A} \end{cases}$$

La $t = 0_+$, latura este ruptă. Reprezentarea circuitului în operațional este ilustrată în Fig. 11.

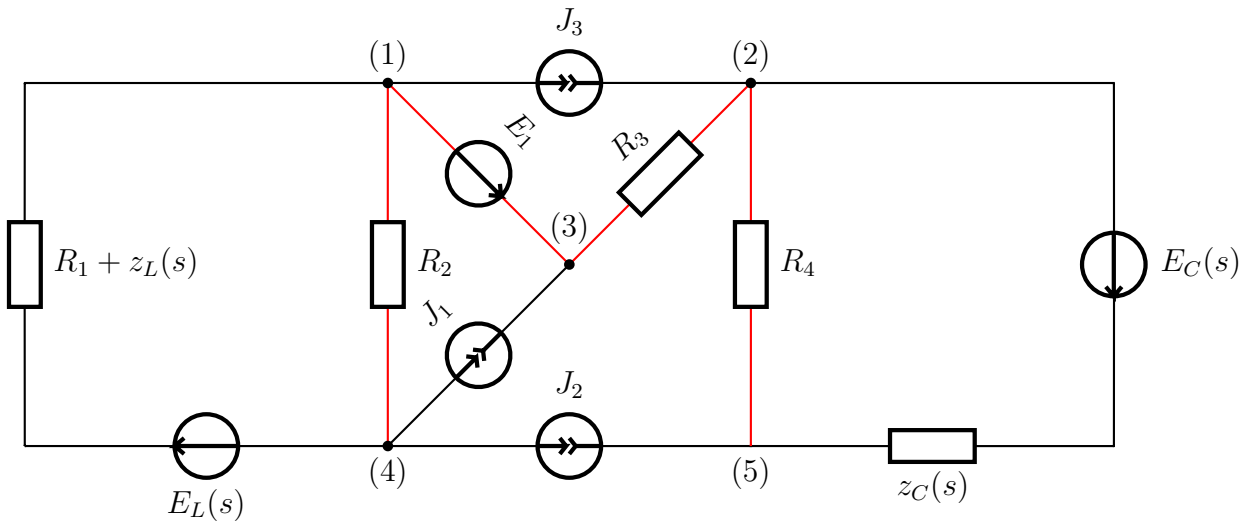


Figura 11: Reprezentarea circuitului în operațional.

Parametri bobină:

$$\begin{cases} z_L(s) = s * L = s * \frac{600 * 10^{-3}}{\pi} = \frac{0.6s}{\pi} \\ E_L(s) = L * i_{L(0_-)} = \frac{600 * 10^{-3}}{\pi} * 1 = \frac{0.6}{\pi} \end{cases}$$

Parametri condensator:

$$\begin{cases} z_C(s) = \frac{1}{sC} = \frac{1}{s * \frac{100 * 10^{-6}}{\pi}} = \frac{10^4 \pi}{s} \\ E_C(s) = \frac{u_{C(0_-)}}{s} = \frac{4}{s} \end{cases}$$

Am aplicat metoda Kirchhoff pentru a determina intensitățile de pe laturile care nu sunt de tip SIC și tensiunile de pe laturile de tip SIC.

Folosind notația standard pentru un sistem de ecuații algebrice liniare $\mathbf{Ax}=\mathbf{b}$, am obținut următoarea egalitate:

$$\begin{pmatrix} 1 & 1 & 0 & 0 & 0 & -1 & 0 & 0 & 0 \\ 0 & 0 & 1 & 1 & 1 & 0 & 0 & 0 & 0 \\ 0 & 0 & 0 & 0 & -1 & 1 & 0 & 0 & 0 \\ 1 & 1 & 0 & 0 & 0 & 0 & 0 & 0 & 0 \\ 4 + \frac{3s}{5\pi} & -2 & 0 & 0 & 0 & 0 & 0 & 0 & 0 \\ 0 & 2 & 0 & 0 & 0 & 0 & 1 & 0 & 0 \\ 0 & 0 & 0 & 0 & 1 & 0 & 0 & 0 & 1 \\ 0 & 0 & 1 & 0 & -1 & 0 & 1 & 1 & 0 \\ 0 & 0 & -1 & \frac{10000\pi}{s} & 0 & 0 & 0 & 0 & 0 \end{pmatrix} \begin{pmatrix} I_1(s) \\ I_2(s) \\ I_6(s) \\ I_7(s) \\ I_8(s) \\ I_9(s) \\ U_1(s) \\ U_2(s) \\ U_3(s) \end{pmatrix} = \begin{pmatrix} \frac{3}{s} \\ \frac{-3}{s} \\ \frac{6}{s} \\ \frac{4}{s} \\ \frac{0.6}{\pi} \\ \frac{-2}{s} \\ \frac{-2}{s} \\ 0 \\ -\frac{4}{s} \end{pmatrix},$$

unde matricea coeficienților A are dimensiunea (9×9) , iar vectorul necunoscutelor și cel al termenilor liberi au dimensiunea (9×1) .

$$\left[\begin{array}{l} I_1 + I_2 - I_9 = \frac{3}{s} \\ I_6 + I_7 + I_8 = \frac{-3}{s} \\ -I_8 + I_9 = \frac{6}{s} \\ I_1 + I_2 = \frac{4}{s} \\ I_1 \cdot \left(\frac{3 \cdot s}{5 \cdot \pi} + 4 \right) - 2 \cdot I_2 = \frac{339}{1775} \\ 2 \cdot I_2 + U_1 = \frac{-2}{s} \\ I_8 + U_3 = \frac{-2}{s} \\ I_6 - I_8 + U_1 + U_2 = 0 \\ -I_6 + \frac{2 \cdot \sqrt{246740110} \cdot I_7}{s} = \frac{-4}{s} \end{array} \right]$$

$$I1 = (\text{sym})$$

$$\frac{\pi \cdot (339 \cdot s + 14200)}{1065 \cdot s \cdot (s + 10 \cdot \pi)}$$

$$I2 = (\text{sym})$$

$$\frac{-339 \cdot \pi \cdot s + 4260 \cdot s + 28400 \cdot \pi}{1065 \cdot s \cdot (s + 10 \cdot \pi)}$$

$$I6 = (\text{sym})$$

$$\frac{4 \cdot (s + \sqrt{246740110})}{s \cdot (s + 2 \cdot \sqrt{246740110})}$$

$$I7 = (\text{sym})$$

$$\frac{-2}{s + 2 \cdot \sqrt{246740110}}$$

$$I8 = (\text{sym})$$

$$\frac{-5}{s}$$

$$I9 = (\text{sym})$$

$$\frac{1}{s}$$

$$U1 = (\text{sym})$$

$$\frac{2 \cdot (-5325 \cdot s + 339 \cdot \pi \cdot s - 39050 \cdot \pi)}{1065 \cdot s \cdot (s + 10 \cdot \pi)}$$

$$U2 = (\text{sym})$$

$$\frac{-678 \cdot \pi \cdot s^2 + 1065 \cdot s^2 - 1356 \cdot \sqrt{246740110} \cdot \pi \cdot s - 17750 \cdot \pi \cdot s + 6390 \cdot \sqrt{246740110} \cdot s + 7}{1065 \cdot s \cdot \left(s^2 + 10 \cdot \pi \cdot s + 2 \cdot \sqrt{246740110} \cdot s + 20 \cdot \sqrt{246740110} \cdot \pi \right)}$$

$$\frac{100 \cdot \sqrt{246740110} \cdot \pi}{s}$$

$$U3 = (\text{sym})$$

$$\frac{3}{s}$$

2.2 Subpunctul b)

Cu ajutorul unui cod Octave, am verificat dacă este respectată teorema valorilor inițiale și finale. Valorile inițiale se determină la $t \rightarrow 0$, iar cele finale la $t \rightarrow \infty$.

`I_L_0 = (sym)`

$$\frac{113 \cdot \pi}{355}$$

`U_C_0 = (sym) 4`

`I_L_inf = (sym) 1`

`U_C_inf = (sym) 2`

Din poza de mai sus se poate observa că sistemul următor este verificat:

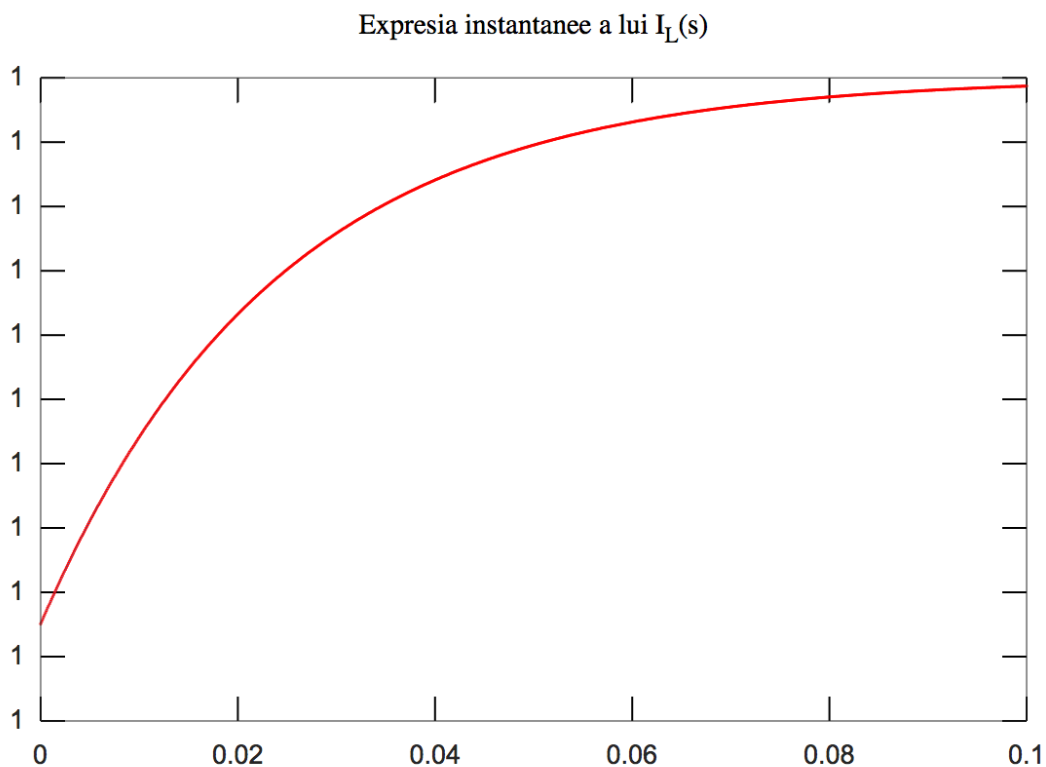
$$\begin{cases} i_{L(0-)} = 1 \text{ A} \\ u_{C(0-)} = 4 \text{ V} \\ i_{L\infty} = 1 \text{ A} \\ u_{C\infty} = 2 \text{ V} \end{cases}$$

2.3 Subpunctul c)

Am calculat expresia instantanee a variabilei $I_L(s)$ și am reprezentat-o grafic.

`graph = (sym)`

$$1 - e^{\frac{-40 \cdot \pi \cdot t}{3}} + \frac{\frac{-40 \cdot \pi \cdot t}{3} + \frac{113 \cdot \pi \cdot e}{355}}{3}$$



3 Calculul și reprezentarea unui câmp electric

3.1 Subpunctul a)

Am ales funcția $f(r) = r^3 + 7$. Distribuția de sarcină devine:

$$\rho(r, \theta, \phi) = \begin{cases} r^3 + 7, & r \in [0, a] \\ 0, & r > a \end{cases}$$

Calculez vectorul inducției electrice \overline{D} folosind legea fluxului electric.

Am considerat o sferă Σ de rază a .

$$\psi_{\Sigma} = q_{D_{\Sigma}}$$

$$\int_{\Sigma} \overline{D} \cdot \overline{dA} = \int_{D_{\Sigma}} \rho dV$$

$$\int_{\Sigma} \overline{D} \cdot \overline{dA} = D \int_{\Sigma} dA = D \cdot 4\pi r^2$$

Tratez două cazuri:

$$1) r \in [0, a]$$

$$q_{D_{\Sigma}} = \int_{D_{\Sigma}} \rho dV = \int_0^r (t^3 + 7) 4\pi t^2 dt = 4\pi \int_0^r (t^5 + 7t^2) dt = 4\pi \left(\frac{r^6}{6} + \frac{7r^3}{3} \right)$$

$$2) r > a$$

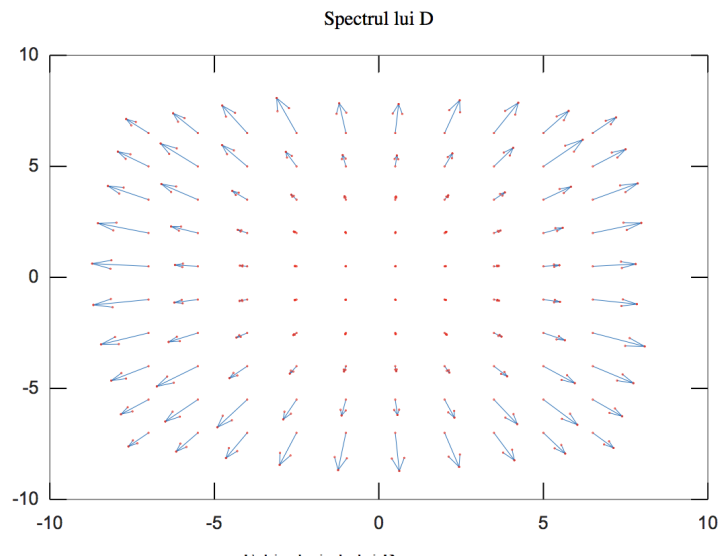
$$q_{D_{\Sigma}} = \int_{D_{\Sigma}} \rho dV = \int_0^a (r^3 + 7) 4\pi r^2 dr = 4\pi \int_0^a (r^5 + 7r^2) dr = 4\pi \left(\frac{a^6}{6} + \frac{7a^3}{3} \right)$$

$$D(r) = \frac{q_{D_{\Sigma}}}{4\pi r^2}$$

$$D(r) = \begin{cases} \frac{r^4}{6} + \frac{7r}{3}, & r \in [0, a] \\ \frac{1}{r^2} \left(\frac{a^6}{6} + \frac{7a^3}{3} \right), & r > a \end{cases}$$

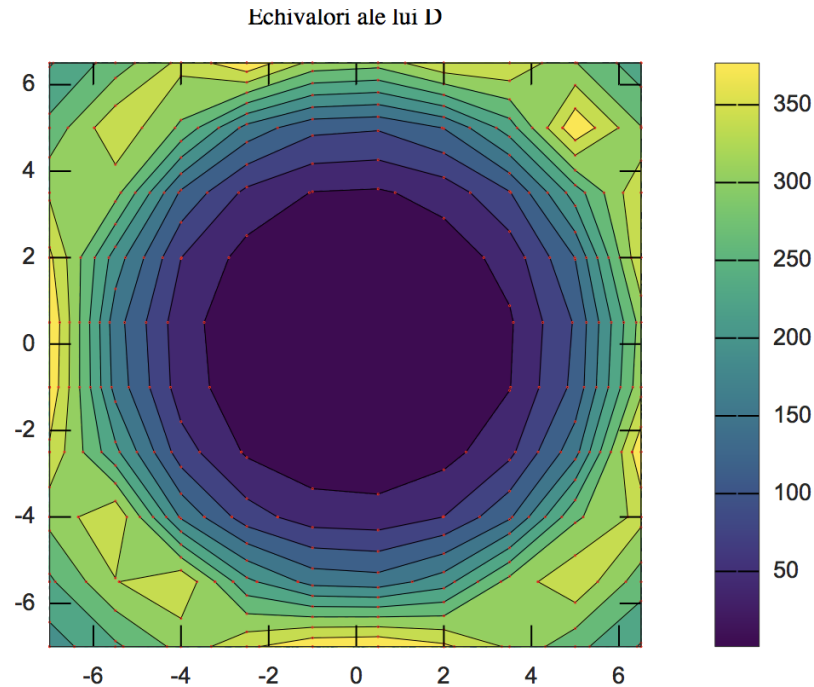
3.2 Subpunctul b)

Am reprezentat spectrul lui \overline{D} .



3.3 Subpunctul c)

Am reprezentat echivalori ale lui $|\overline{D}|$.



Codul aferent exercițiului 3 poate fi observat mai jos.

```
% Exercițiul 3
a = 7; % raza

[x y] = meshgrid(-a : 1.5 : a);

alpha = atan2(y,x);

r = sqrt(x.^2 + y.^2);
n = length(r);

for i = 1 : n
    for j = 1 : n
        D(i,j) = f(r(i,j), a);
    endfor
endfor

u = D .* cos(alpha);
v = D .* sin(alpha);

figure;
quiver(x, y, u, v);
title('Spectrul lui D');

figure;
contourf(x, y, D);
colorbar;
title('Echivalori ale lui D');
```

```
function y = f(r, a)

    if r > a
        y = (1/r^2) * (a^6/6 + 7*a^3/3);
    else
        y = r^4/6 + 7*r/3;
    endif

endfunction
```

4 Redactarea în L^AT_EX

Tema a fost realizată în L^AT_EX, un editor text de înaltă performanță. Mai jos, se poate observa un fragment de cod utilizat pentru generarea acestui fișier PDF.

```
Graful intensit'a'tilor este reprezentat 'in Fig.~\ref{fig:circuit4}.

% GI

\begin{figure} [ht]
  \begin{center}

    \begin{circuitikz}[scale=1.35,european resistors,american inductors]

      \draw[black, thick]
        % coarbarele
        (-2,2) to [short, i=$i_3$] (2,2)
        (-2,-2) to [short, i=$i_2$, *-] (2,-2)
        (-2,-2) to [short, i=$i_1$] (0,0)

        (2,2) -- (3.5,2) to [short, i<=$i_8$] (3.5,-2) -- (2,-2)

      %nodurile
      (-2,2.3) node{(1)}
      (2,2.3) node{(2)}
      (0,0.4) node{(3)}
      (-2,-2.3) node{(4)}
      (2,-2.3) node{(5)};

      \draw[red, thick]
        %elementele de cicuit de pe arbore
        (-2,2) to [short, i=$i_4$, color = red, *-] (-2,-2)
        (0,0) to [short, i=$i_6$, color = red, *-] (2,2)
        (-2,2) to [short, i=$i_5$, color = red, *-] (0,0)
        (2,-2) to [short, i=$i_7$, color = red, *-] (2, 2)

    ;\end{circuitikz}
  \caption{Graful de intensit'a'ti.}
  \label{fig:circuit4}
  \end{center}
\end{figure}
```

Bibliografie

- [1] Daniel Ioan, *Circuite electrice rezistive - breviare teoretice și probleme*,
<http://www.lmn.pub.ro/daniel/culegere.pdf>, 2000.
- [2] G. Ciuprina, A. Gheorghe, M. Popescu, D. Niculae, A.S. Lup, R. Bărbulescu, D. Ioan,
Modelarea și simularea circuitelor electrice. Îndrumar de laborator,
<http://cs.curs.pub.ro/2017/course/view.php?id=50>
- [3] Gabriela Ciuprina, *Template pentru redactarea rapoartelor în LaTeX (v4)*,
<http://cs.curs.pub.ro/2017/course/view.php?id=50>